

РОССИЙСКАЯ АКАДЕМИЯ АРХИТЕКТУРЫ И СТРОИТЕЛЬНЫХ НАУК  
НАУЧНО-ИССЛЕДОВАТЕЛЬСКИЙ ИНСТИТУТ СТРОИТЕЛЬНОЙ ФИЗИКИ  
(НИИСФ РААСН)



«УТВЕРЖДАЮ»

Директор НИИСФ РААСН

Шубин И.Л.

« 25 » марта 2013 г.

**ТЕХНИЧЕСКИЙ ОТЧЕТ**

по теме:

**« Исследование радонопроницаемости ПВХ мембраны  
«LOGICROOF T-SL» »**

Договор № 15230(2013) от 04.03.2013 г.

Руководитель работы,  
д. т. н, проф.

  
Гулабянц Л.А.

Москва 2013 г.

## **СПИСОК ИСПОЛНИТЕЛЕЙ**

**Руководитель работы:**

**д.т.н, проф.**

**Гулабянц Л.А.**

**Исполнители:**

**к.т.н, ст. научн. сотр.**

**Цапалов А.А.**

**вед. инженер**

**Семенова М.Н.**

**аспирант**

**Чернобровкин П. В.**

## Введение

**Актуальность работы** - Согласно требованиям Норм радиационной безопасности [1] концентрация радона и его дочерних продуктов во внутреннем воздухе жилых и общественных зданий не должна превышать установленного предела.

Проникновение в помещения радона, образующегося в грунтовом основании здания, как правило, является основной причиной его сверхнормативной концентрации.

Технические мероприятия, направленные на снижение этой концентрации, реализуются строительными средствами и преимущественно заключаются в снижении радонопроницаемости подземных ограждающих конструкций [2-3]. Практически всегда такие конструкции включают в себя элементы из монолитного или сборного железобетона. Поскольку радонопроницаемость таких элементов может быть достаточно высокой, для повышения сопротивления радонопроницанию конструкций в их составе используют мембраны. Мембрана представляет собой сплошной тонкий слой малопроницаемого для радона рулонного или листового материала. Мембрану располагают выше или ниже несущего элемента ограждающей конструкции, что позволяет защитить здание от проникновения в него грунтового радона через поры, трещины и стыки в несущих элементах конструкции.

Одними из основных требований к радонозащитным мембранам являются:

- низкий коэффициент диффузии радона в материале мембраны,
- возможность обеспечения ее сплошности в пределах площади здания,
- возможность ее упруго-пластической деформации без разрушения при подвижках несущей конструкции и смещении элементов конструкции относительно друг друга в процессе эксплуатации здания.

**Цель работы** заключалась в определении радонозащитной способности мембраны «LOGICROOF T-SL» в составе ограждающей конструкции подземной части здания.

**Задачами работы являлось:**

1. Экспериментальное определение коэффициента диффузии радона в материале мембраны.
2. Определение сопротивления радонопроницанию мембраны и сопротивления сочетания слоя бетона с мембраной.
3. Составление заключения об эффективности использования исследуемого материала в целях противорадоновой защиты зданий.

# 1. Основные понятия

## 1.1. Коэффициент диффузии радона и сопротивление радонопроницанию

В настоящее время величину коэффициента диффузии радона в материале во многих странах (Германии, Чехии, Испании, Ирландии, Голландии и др.) рассматривают как наиболее представительный параметр, характеризующий радонозащитную способность материала [2]. Известны два подхода к использованию этого параметра в технических и нормативных документах:

1. коэффициент диффузии радона в слое противорадоновой защиты должен быть ниже определенной нормированной величины;
2. толщина слоя противорадоновой защиты должна быть не менее чем в три раза больше, чем длина диффузии радона в материале слоя.

В обоих случаях принимаются во внимание защитные свойства только одного слоя материала, в то время как в реальных условиях этот слой работает совместно с другими слоями ограждающей конструкции. Кроме того, и главное, плотность потока поступающего в помещение радона - основная величина, определяющая концентрацию радона в помещении, остается не определенной.

В принятом в России подходе ( близком к принятому в Швеции [6] ) исходят из того, что плотность потока радона, проникающего через ограждающую конструкцию в здание, не должна превышать величины, при которой концентрация радона в помещении не превышает заданного при проектировании уровня. При этом, требуемые параметры подземной ограждающей конструкции рассчитываются с учетом основных, определяющих радоновый режим здания факторов: коэффициента диффузии радона в материалах конструкции, концентрации радона в грунтовом основании здания, интенсивности вентиляции помещений и их геометрических параметров.

**Коэффициент диффузии (  $D$ ,  $м^2/с$  )** выражает активность радона ( Бк), проходящего через  $1 м^2$  площади слоя толщиной 1 м в секунду при разности концентраций радона на границах слоя равной  $1 Бк/м^3$

**Коэффициент радонопроницания (  $K$ ,  $м/с$  )** выражает плотность потока радона (  $Бк/м^2 с$  ), проникающего через конструкцию, состоящую из одного или нескольких слоев материалов, при разности объемных активностей радона на внешних границах конструкции равной  $1 Бк/м^3$  . Размерность этого коэффициента:

$$\frac{Бк}{м^2 с} \cdot \frac{м^3}{Бк} = \frac{м}{с}$$

**Сопrotивление радонопроницанию ( $R, с/м$ )** характеризует радонозащитную способность ограждающей конструкции ( $R = l / K$ ). Сопrotивление радонопроницанию представляет разность объемных активностей радона на границах конструкции ( $Бк/м^3$ ), при которой через конструкцию проникает поток радона плотностью  $1 Бк/(м^2 с)$ .

Сопrotивление радонопроницанию однослойной конструкции вычисляется по формуле [3]

$$R = \frac{L \cdot sh\left(\frac{h}{L}\right)}{D}, \quad (1)$$

где  $D$  - объемный коэффициент диффузии радона в материале слоя,  $м^2/с$ ;

$h$  - толщина слоя, м;

$L = \sqrt{D/\lambda}$  - длина диффузии радона в материале слоя (расстояние, на котором проходящий через слой поток радона ослабляется в 2,7 раза), м.

В Швеции при проведении стандартных испытаний материалов используют понятие о **радонопроницаемости слоя материала** ( $k = h/R = h \cdot K, м^2/с$ ) [6].

Для конструкции, состоящей из двух и более слоев, формулы вида (1) становятся весьма громоздкими. Радонозащитные свойства большинства обычно используемых конструкций определяются свойствами одного или двух основных, наименее газопроницаемых слоев - бетона и гидро-газоизолирующего слоя. Поэтому присутствием в конструкции таких вспомогательных слоев как песчаная и гравийная подсыпка, выравнивающая и защитная стяжки и т.п., в силу их небольшой толщины и высокой газопроницаемости обычно пренебрегают. Суммарное сопротивление радонопроницанию двух-трехслойной конструкции с разнородными слоями приближенно (с незначительным занижением определяемой величины) вычисляют по формуле:

$$R = R_i + R_{i+1} + \dots R_n, \quad (2)$$

где  $R_i$  - сопротивление радонопроницанию  $i$ -го слоя, определяемое по формуле (1)

$i = 1, 2, \dots n$  - порядковый номер слоя.

## 2. Метод определения

Использованный в данной работе метод определения коэффициента диффузии радона в плоском слое материала основан на измерении изменения во времени концентрации радона  $C_1(\tau)$  в измерительной (одновременно экспозиционной) камере 1, к которой герметично присоединена проба тестируемого материала 2 (рис. 1) [4].

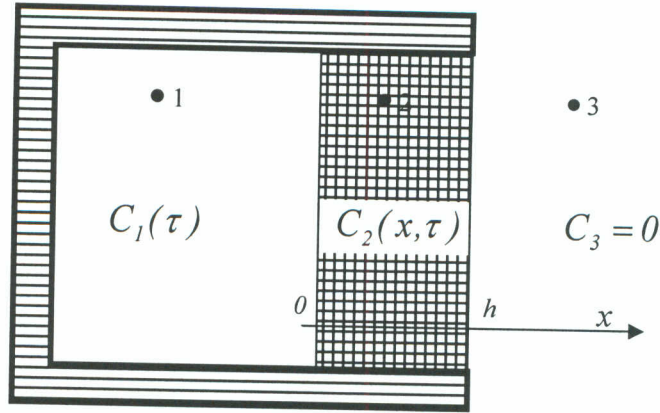


Рис. 1. Схема измерения. 1- Измерительная камера, 2- проба материала, 3- окружающее пространство.

Процесс диффузионного переноса радона через испытываемую пробу материала описывается системой дифференциальных уравнений:

$$\frac{\partial C_1(\tau)}{\partial \tau} = -\lambda C_1(\tau) - \frac{S}{V} \alpha_1 [C_1(\tau) - C_2(0, \tau)], \quad (3)$$

$$\frac{\partial C_2(x, \tau)}{\partial \tau} = D \frac{\partial^2 C_2(x, \tau)}{\partial x^2} - \lambda C_2(x, \tau), \quad (4)$$

$$C_1(0) = C_0, \quad (5)$$

$$C_2(x, 0) = 0, \quad (6)$$

$$-D \frac{\partial C_2(0, \tau)}{\partial x} = \alpha_1 [C_1(\tau) - C_2(0, \tau)], \quad (7)$$

$$-D \frac{\partial C_2(h, \tau)}{\partial x} = \alpha_2 [C_2(h, \tau) - C_3], \quad (8)$$

где:  $\tau$  - время, с;

$C_1(\tau)$ ,  $C_2(x, \tau)$  и  $C_3$  - концентрация радона в камере 1, пробе 2 и окружающем воздухе 3, соответственно, Бк/м<sup>3</sup>;

$C_0$  - концентрация радона в камере 1 в момент времени  $\tau = 0$ , с;

$V$  - объем камеры, м<sup>3</sup>;  $h$  - толщина пробы, м;  $S$ , - площадь пробы, м<sup>2</sup>;

$\lambda$  - постоянная распада радона, с<sup>-1</sup>;

$\alpha_1, \alpha_2$  - коэффициенты, учитывающие условия газообмена в пограничном слое у левой ( $x = 0$ ) и правой ( $x = h$ ) поверхностях пробы, соответственно, м / с.

Решение уравнений (3)–(8) относительно величины  $C_1(\tau)$  для  $0 \leq \tau < \infty$ , имеющее вид

$$C_1(\tau) = C_0 \left[ \int_0^\tau e^{\lambda(t-\tau)} F(t) dt + e^{-\lambda\tau} \right], \quad (9)$$

реализуется с помощью компьютерной математической программы «MAPLE».

До начала эксперимента концентрации радона в камере и в окружающем воздухе равны. В начале эксперимента порция воздуха объемом 2-3 см<sup>3</sup> с концентрацией радона порядка 10<sup>6</sup> Бк/м<sup>3</sup> в течение 2-3 секунд вводится в камеру 1 через специальный клапан. Таким образом, внутри камеры в начальный момент времени ( $\tau = 0$ ) создается концентрация радона  $C_1(\tau = 0) = C_0$ . В процессе эксперимента эта концентрация убывает вследствие распада радона и его диффузии через пробу. Значения объемной активности радона в камере  $C_1(\tau)_{\text{эксн}}$  измеряются с определенным шагом по времени.

Изменение концентрации радона в камере при заданном значении коэффициента диффузии  $C_1(\tau)_{\text{расч}}$  рассчитывается на основании (7). Искомая величина коэффициента диффузии радона в испытуемой пробе определяется с помощью метода наименьших квадратов, примененного к функции  $C_1(\tau)_{\text{эксн}}$  при известном виде функции  $C_1(\tau)_{\text{расч}}$ .

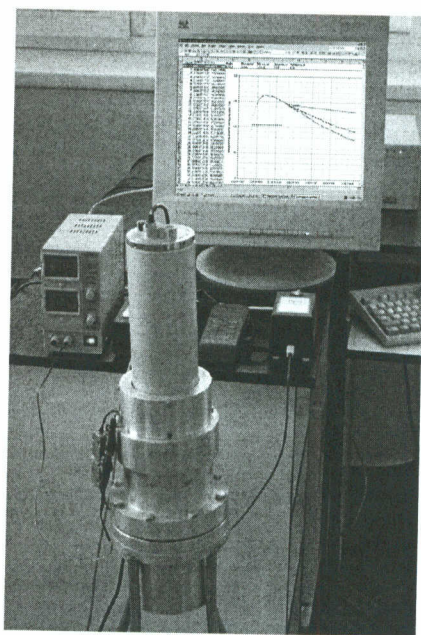


Рис. 2.

Общий вид экспериментальной установки показан на рис. 2 [5].

### 3. Сведения о материале

Исследовались три пробы-близнеца **ПВХ мембраны «LOGICROOF T-SL»** производства корпорации «ТехноНИКОЛЬ» - ООО «Завод Лоджикруф» ( Рязань , Восточный промузел, 21) . <http://www.logicroof.ru/>

По данным производителя:

LOGICROOF T-SL – неармированная, полимерная, гидроизоляционная мембрана на основе пластифицированного поливинилхлорида (П-ПВХ), с сигнальным слоем ярко-желтого цвета, ТУ 5774-001-56818267-2005.

Поставляется в рулонах шириной 2 м., длиной 20 м.

Толщина мембраны 1,5-2,0 мм.

Масса материала – 2 кг/м<sup>2</sup>; 2,4

Соединение полос – внахлест, сварное.

Общий вид проб материала, зафиксированных во входящих в комплект экспериментальной установки держателях, приведен на рис. 3.

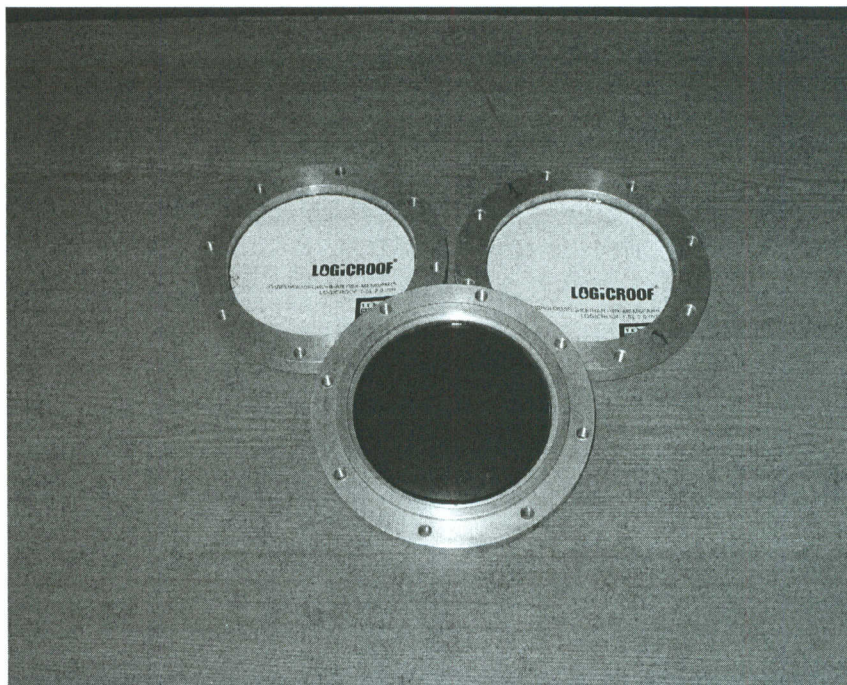


Рис. 3. Общий вид проб материала

Для герметичного крепления проб в держателях использован эпоксидный клей марки ЭДП. В течение эксперимента максимальное изменение температуры воздуха в помещении не превышало 3 °С, изменение атмосферного давления не превышало 1100 Па.

#### 4. Результаты испытаний

Результаты определения коэффициента диффузии радона в пробах мембраны приводятся в табл. 1.

Таблица 1

Номер пробы	Коэффициент диффузии радона $D$ , $\text{м}^2/\text{с}$	Коэффициент радонопроницания $K$ , $\text{м}/\text{с}$	Сопротивление радонопроницанию $R$ , $\text{с}/\text{м}$
1	$(4,9 \pm 1,0) \cdot 10^{-11}$	-	-
2	$(5,8 \pm 1,2) \cdot 10^{-11}$	-	-
3	$(5,7 \pm 1,1) \cdot 10^{-11}$	-	-
<b>для материала</b>	<b><math>(5,5 \pm 1,2) \cdot 10^{-11}</math></b>	<b><math>2,68 \cdot 10^{-8}</math></b>	<b><math>3,73 \cdot 10^7</math></b>

Акт испытаний материала приводится в приложении 1.

Данные для сравнения показателей радонопроницаемости слоя тяжелого бетона толщ. 100 мм и его сочетания с мембраной приводятся в табл. 2.

Таблица 2

Слой	Коэффициент диффузии радона, $D$ $\text{м}^2/\text{с}$	Коэффициент радонопроницания $K$ , $\text{м}/\text{с}$	Сопротивление радонопроницанию $R$ , $\text{с}/\text{м}$
Бетон ( 100 мм )	$1,1 \cdot 10^{-7}$	$1,1 \cdot 10^{-6}$	$9,4 \cdot 10^5$
Бетон ( 100 мм ) + Мембрана «LOGICROOF T-SL »	-	$2,6 \cdot 10^{-8}$	$3,82 \cdot 10^7$

Сопротивление радонопроницанию 100 мм бетонной плиты в сочетании с мембраной более, чем в 40 раз превышает сопротивления плиты без мембраны.

#### ЗАКЛЮЧЕНИЕ

Сопротивление радонопроницанию 100 мм бетонной плиты в сочетании с мембраной более чем в 40 раз превышает сопротивления плиты без мембраны.

Мембрана «LOGICROOF T-SL » по показателю сопротивления радонопроницанию рекомендуется для применения в целях противорадоновой защиты зданий.

## ЛИТЕРАТУРА

1. Нормы радиационной безопасности НРБ - 99 / 2009. Санитарно-эпидемиологические правила и нормативы. М.: Федеральный центр гигиены и эпидемиологии Роспотребнадзора. 2009. 100 с.
2. M. Jiranek a.o. «Radon diffusion coefficient – a material property determining the applicability of waterproof membranes as radon barriers». Proceedings of the American Association of Radon Scientists and Technologists 2008 International Symposium Las Vegas NV, September 14-17, 2008. .
3. Гулабянц Л.А. Противорадоновая защита жилых и общественных зданий. // Жилищное строительство. 2012. № 2. С. 28-31; № 3. С. 27-31; № 5. С. 28-32 ; № 6 . С. 82-85.
4. Гулабянц Л.А., Лившиц М.И., Цапалов А.А.. Теоретическая основа нестационарного метода измерения коэффициента диффузии радона в пористой среде. Научно-информационный журнал по радиационной безопасности «АНРИ», № 2 (45), 2006.
5. Гулабянц Л.А., Цапалов А.А.. Экспериментальное устройство для измерения коэффициента диффузии радона в материалах. Научно-информационный журнал по радиационной безопасности «АНРИ», № 4 (47), 2006.
6. H. Karlson. Test of Radon Transmission. SP Technical Research Institute of Sweden. Report PX25828, 2012-08-27.



федеральное государственное бюджетное учреждение  
«Научно-исследовательский институт строительной физики  
Российской академии архитектуры и строительных наук»  
(НИИСФ РААСН)

Research Institute of Building Physics  
Russian Academy of Architecture and Construction Sciences  
(NIISF RAACS)

Лаборатория радиационной безопасности в строительстве.  
(495) 482 39 65, e-mail: lor267gg@yandex.ru



**АКТ N 01/15230 от 20.03. 2013 г.**  
Определение коэффициента диффузии радона в материале

**1. НИИСФ РААСН, лаборатория № 15.**

Свидетельство о членстве в саморегулируемой организации некоммерческого партнерства «Объединение организаций в сфере проектирования «Академический Проектный Центр (АПЦ) № СРО-7701054960-7713018998-2-2009.

Регистрационный номер в реестре членов НП «ФПЦ» - № 0009.

Свидетельство о допуске к работам по подготовке проектной документации, которые оказывают влияние на безопасность объектов капитального строительства № П-119-18012010-7713018998-0009-2.

**2. Дата проведения измерений:** 12 – 14.03. 2013 г.

**3. Сведения о материале :**

Наименование материала – «LOGICROOF T-SL» по ТУ 5774-001-56818267-2005

Неармированная, полимерная, гидроизоляционная мембрана на основе пластифицированного поливинилхлорида (П-ПВХ), с сигнальным слоем ярко-желтого цвета.

Производитель - ООО «Завод Лоджикруф» (г.Рязань, Восточный промузел, 21) .  
<http://www.logicroof.ru/>

Организация, представившая образец материала для испытаний – корпорация «ТехноНИКОЛЬ».

Толщина образца материала - 2 мм.

Масса материала образца – 2 кг/м<sup>2</sup>.

**4. Аппаратура** - экспериментальные установки (№1 и № 2) для определения коэффициента диффузии радона в строительных материалах и грунтах КДМ.1-07.

5. Метод определения – согласно Стандарту НИИСФ РААСН: « Лабораторный нестационарный метод определения коэффициента диффузии радона в материалах ограждающих конструкций зданий и грунтах ». 2008 г.

6. Результаты испытаний

Номер пробы	Коэффициент диффузии радона $D$ , $m^2/c$	
	в пробе	в материале
1	$(4,9 \pm 1,0) \cdot 10^{-11}$	$(5,5 \pm 1,2) \cdot 10^{-11}$
2	$(5,8 \pm 1,2) \cdot 10^{-11}$	
3	$(5,7 \pm 1,1) \cdot 10^{-11}$	

Примечание: Протоколы измерений приводятся на 9 стр. в приложениях А, В, С к Акту испытаний.

ЗАКЛЮЧЕНИЕ

Согласно результатам проведенных испытаний коэффициент диффузии радона в мембране «LOGICROOF T-SL» составляет  $(5,5 \pm 1,2) \cdot 10^{-11} m^2/c$ .

Зав. лабораторией



Л.А. Гулабянц

НИИСФ РААСН

Лаборатория «Радиационной Безопасности в Строительстве»

ПРОТОКОЛ ИСПЫТАНИЙ № 01/15230 от 14.03.2013 г.

Образец материала – мембрана «LOGICROOF T-SL»

Проба № 1.

1. Геометрия измерений

Толщина пробы, мм	Диаметр пробы, Мм	Объем измерительной камеры, см <sup>3</sup>
2,00	117	260

2. Обозначения

$\tau$  - время, ч;

$[0, \tau_1]$  - интервал времени, в течение которого в измерительной камере устанавливается радиоактивное равновесие между радоном и его дочерними продуктами распада;

$C(\tau)$  - объемная активность радона в измерительной камере, Бк/м<sup>3</sup>;

Индексы:

$\varepsilon$  – экспериментальные данные,

$p$  – расчетные данные .

3. Экспериментальные и расчетные данные

Номер периода измерения	Время, ч ( $\tau \geq \tau_1$ )	Темп снижения объемной активности радона в камере		Отклонение значений $T^\varepsilon$ от $T^p$ , %
		$T^p = \frac{C^p(\tau)}{C^p(\tau_1)}$	$T^\varepsilon = \frac{C^\varepsilon(\tau)}{C^\varepsilon(\tau_1)}$	
1	2	3	4	5
1	6,592	1,0000	1,0000	0,00
2	6,766	0,9980	1,0016	0,36
3	6,941	0,9960	1,0018	0,58
4	7,115	0,9940	0,9911	-0,30
5	7,290	0,9920	0,9941	0,21
6	7,465	0,9900	0,9901	0,01
7	7,640	0,9881	0,9907	0,26
8	7,815	0,9861	0,9868	0,07
9	7,990	0,9841	0,9842	0,01
10	8,164	0,9822	0,9835	0,14
11	8,339	0,9802	0,9796	-0,06
12	8,513	0,9783	0,9819	0,37

13	8,688	0,9764	0,9776	0,12
14	8,863	0,9744	0,9769	0,983
15	9,037	0,9725	0,9715	-0,10
16	9,212	0,9706	0,9763	0,59
17	9,386	0,9687	0,9736	0,50
18	9,561	0,9668	0,9659	-0,10
19	9,736	0,9649	0,9618	-0,32
20	9,911	0,9630	0,9667	0,38
21	10,086	0,9611	0,9564	-0,49
22	10,261	0,9593	0,9668	0,79
23	10,436	0,9574	0,9554	-0,21
24	10,611	0,9555	0,9545	-0,11
25	10,786	0,9536	0,9488	-0,51
26	10,961	0,9518	0,9596	0,83
27	11,136	0,9499	0,9544	0,47
28	11,311	0,9480	0,9499	0,20
29	11,486	0,9462	0,9478	0,17
30	11,661	0,9443	0,9453	0,10
31	11,836	0,9425	0,9427	0,02
32	12,011	0,9406	0,9439	0,35
33	12,186	0,9388	0,9401	0,14
34	12,362	0,9370	0,9309	-0,65
35	12,537	0,9351	0,9352	0,01
36	12,711	0,9333	0,9366	0,35
37	12,887	0,9315	0,9330	0,16
38	13,062	0,9297	0,9306	0,10
39	13,237	0,9279	0,9228	-0,55
40	13,412	0,9260	0,9212	-0,52
41	13,586	0,9242	0,9260	0,19
42	13,762	0,9224	0,9277	0,57
43	13,937	0,9206	0,9195	-0,13
44	14,112	0,9188	0,9190	0,02
45	14,288	0,9170	0,9165	-0,06
46	14,463	0,9153	0,9176	0,25
47	14,639	0,9135	0,9161	0,28
48	14,813	0,9117	0,9148	0,34
49	14,989	0,9099	0,9049	-0,55
50	15,165	0,9081	0,9103	0,24
51	15,340	0,9063	0,9064	0,00
52	15,516	0,9046	0,9030	-0,18
53	15,691	0,9028	0,9023	-0,06
54	15,866	0,9010	0,9053	0,47
55	16,042	0,8993	0,8944	-0,54
56	16,217	0,8975	0,8967	-0,09
57	16,386	0,8958	0,8932	-0,29
58	16,555	0,8942	0,8861	-0,91
59	16,723	0,8925	0,8964	0,44
60	16,892	0,8908	0,8866	-0,47

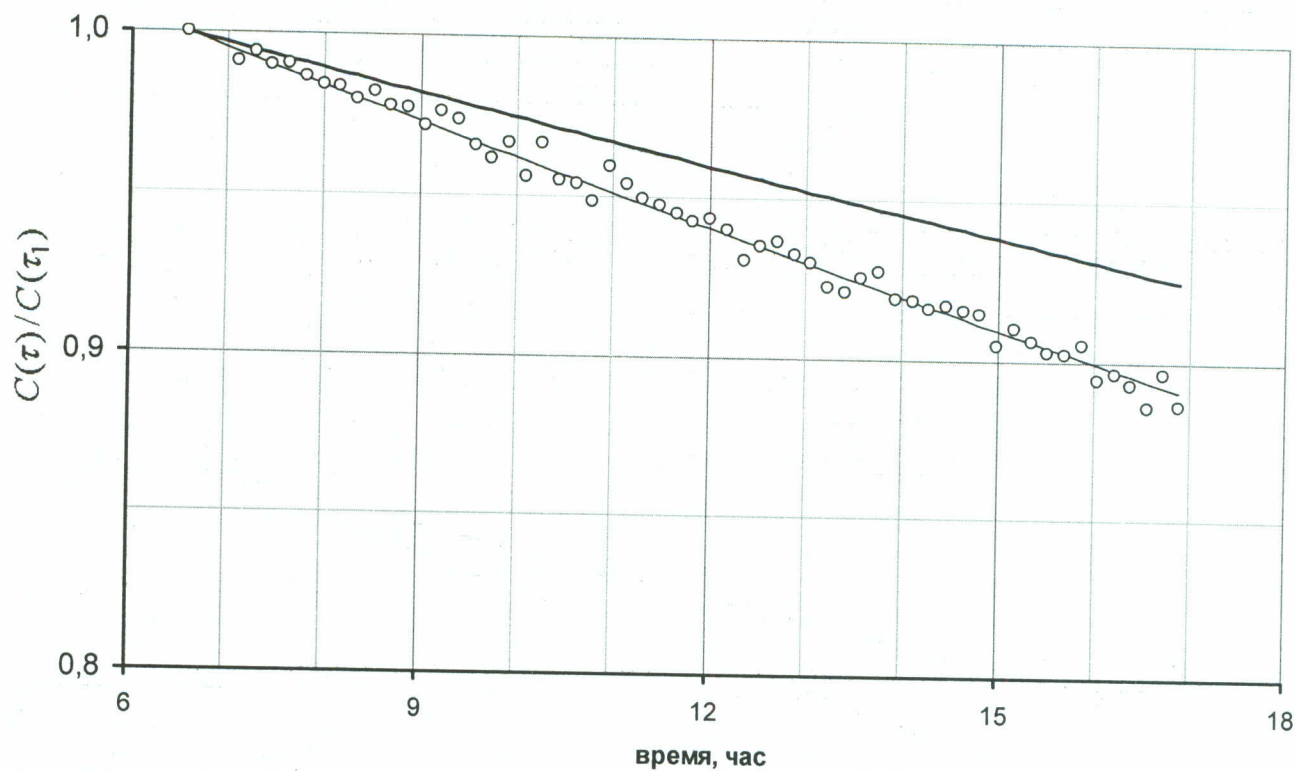


Рис. 1. Изменение во времени темпа снижения объемной активности радона в измерительной камере

*точки* – экспериментальные данные;

*тонкая сплошная линия* – расчетные данные;

*толстая сплошная линия* – в герметичной камере ( кривая распада) .

#### 4. Результат испытаний

Коэффициент диффузии радона в пробе материала составляет:

$$D = (4,9 \pm 1,0) \cdot 10^{-11} \text{ м}^2/\text{с}.$$

Отв. исполнитель

А. А. Цапалов

НИИСФ РААСН

Лаборатория «Радиационной Безопасности в Строительстве»

ПРОТОКОЛ ИСПЫТАНИЙ № 02/15230 от 12.03.2013 г.

Образец материала – мембрана «LOGICROOF T-SL»

Проба № 2.

1. Геометрия измерений

Толщина пробы, мм	Диаметр пробы, Мм	Объем измерительной камеры, см <sup>3</sup>
2,00	117	260

2. Обозначения

$\tau$  - время, ч;

$[0, \tau_1]$  - интервал времени, в течение которого в измерительной камере устанавливается радиоактивное равновесие между радоном и его дочерними продуктами распада;

$C(\tau)$  - объемная активность радона в измерительной камере, Бк/м<sup>3</sup>;

Индексы:

$\varepsilon$  – экспериментальные данные,

$p$  – расчетные данные .

3. Экспериментальные и расчетные данные

Номер периода измерения	Время, ч ( $\tau \geq \tau_1$ )	Темп снижения объемной активности радона в камере		Отклонение значений $T^\varepsilon$ от $T^p$ , %
		$T^p = \frac{C^p(\tau)}{C^p(\tau_1)}$	$T^\varepsilon = \frac{C^\varepsilon(\tau)}{C^\varepsilon(\tau_1)}$	
1	2	3	4	5

1	6,377	1,0000	1,0000	0,00
2	6,544	0,9980	1,0018	0,38
3	6,712	0,9960	0,9946	-0,14
4	6,880	0,9940	0,9963	0,24
5	7,047	0,9920	0,9932	0,13
6	7,215	0,9900	0,9950	0,51
7	7,383	0,9880	0,9861	-0,20
8	7,551	0,9860	0,9837	-0,23
9	7,719	0,9840	0,9829	-0,12
10	7,886	0,9821	0,9837	0,17
11	8,054	0,9801	0,9798	-0,03
12	8,222	0,9782	0,9731	-0,52

13	8,389	0,9762	0,9742	-0,20
14	8,557	0,9743	0,9719	0,984
15	8,724	0,9723	0,9717	-0,06
16	8,892	0,9704	0,9624	-0,83
17	9,060	0,9685	0,9712	0,28
18	9,228	0,9666	0,9643	-0,23
19	9,396	0,9646	0,9602	-0,46
20	9,564	0,9627	0,9595	-0,33
21	9,731	0,9608	0,9595	-0,14
22	9,899	0,9589	0,9612	0,24
23	10,067	0,9570	0,9567	-0,03
24	10,235	0,9551	0,9548	-0,04
25	10,402	0,9532	0,9482	-0,53
26	10,570	0,9513	0,9529	0,16
27	10,738	0,9495	0,9486	-0,09
28	10,906	0,9476	0,9450	-0,28
29	11,074	0,9457	0,9488	0,32
30	11,242	0,9438	0,9460	0,22
31	11,410	0,9420	0,9442	0,24
32	11,577	0,9401	0,9354	-0,50
33	11,745	0,9383	0,9396	0,15
34	11,913	0,9364	0,9340	-0,26
35	12,080	0,9346	0,9361	0,17
36	12,248	0,9327	0,9327	-0,01
37	12,416	0,9309	0,9343	0,37
38	12,583	0,9290	0,9221	-0,75
39	12,751	0,9272	0,9239	-0,35
40	12,918	0,9254	0,9228	-0,28
41	13,086	0,9236	0,9197	-0,42
42	13,254	0,9217	0,9225	0,08
43	13,422	0,9199	0,9173	-0,29
44	13,589	0,9181	0,9207	0,28
45	13,757	0,9163	0,9199	0,40
46	13,924	0,9145	0,9098	-0,51
47	14,092	0,9127	0,9091	-0,39
48	14,259	0,9109	0,9091	-0,20
49	14,427	0,9091	0,9120	0,32
50	14,595	0,9073	0,9114	0,46
51	14,762	0,9055	0,9012	-0,48
52	14,930	0,9037	0,9004	-0,37
53	15,098	0,9019	0,8991	-0,31
54	15,266	0,9002	0,9048	0,51
55	15,434	0,8984	0,9041	0,63
56	15,601	0,8966	0,8971	0,05
57	15,769	0,8949	0,8984	0,39
58	15,936	0,8931	0,8947	0,18
59	16,104	0,8913	0,8959	0,51
60	16,272	0,8896	0,8942	0,52

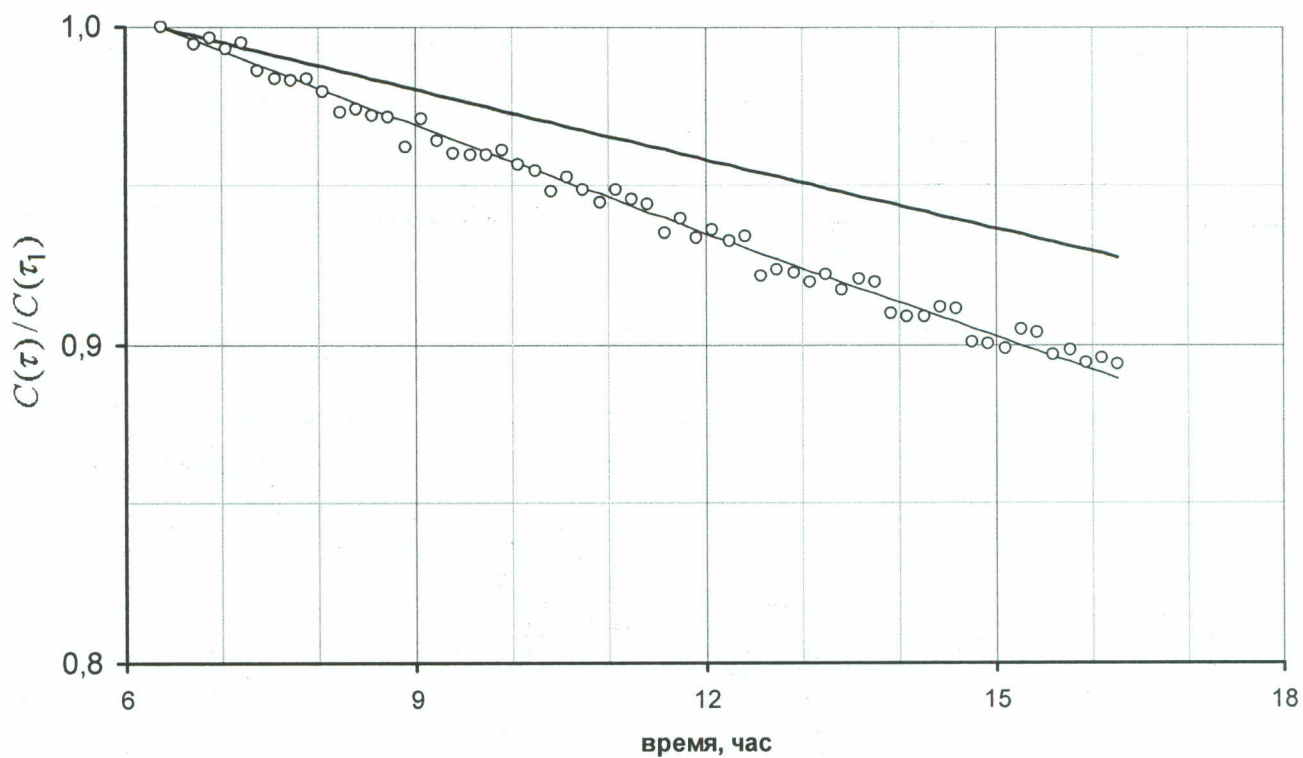


Рис. 1. Изменение во времени темпа снижения объемной активности радона в измерительной камере

*точки* – экспериментальные данные;

*тонкая сплошная линия* – расчетные данные;

*толстая сплошная линия* – в герметичной камере ( кривая распада) .

#### 4. Результат испытаний

Коэффициент диффузии радона в пробе материала составляет:

$$D = (5,8 \pm 1,2) * 10^{-11} \text{ м}^2/\text{с}.$$

Отв. исполнитель

*А. А. Цапалов* А. А. Цапалов

НИИСФ РААСН

Лаборатория «Радиационной Безопасности в Строительстве»

ПРОТОКОЛ ИСПЫТАНИЙ № 03/15230 от 14.03.2013 г.

Образец материала – мембрана «LOGICROOF T-SL»

Проба № 3.

1. Геометрия измерений

Толщина пробы, мм	Диаметр пробы, мм	Объем измерительной камеры, см <sup>3</sup>
2,00	117	270

$\tau$  - время, ч;

$[0, \tau_1]$  - интервал времени, в течение которого в измерительной камере устанавливается радиоактивное равновесие между радоном и его дочерними продуктами распада;

$C(\tau)$  - объемная активность радона в измерительной камере, Бк/м<sup>3</sup>;

Индексы:

$\varepsilon$  – экспериментальные данные,

$p$  – расчетные данные .

3. Экспериментальные и расчетные данные

Номер периода измерения	Время, ч ( $\tau \geq \tau_1$ )	Темп снижения объемной активности радона в камере		Отклонение значений $T^\varepsilon$ от $T^p$ , %
		$T^p = \frac{C^p(\tau)}{C^p(\tau_1)}$	$T^\varepsilon = \frac{C^\varepsilon(\tau)}{C^\varepsilon(\tau_1)}$	
1	2	3	4	5

1	6,610	1,0000	1,0000	0,00
2	6,786	0,9979	1,0004	0,25
3	6,960	0,9959	0,9954	-0,04
4	7,135	0,9938	0,9924	-0,14
5	7,310	0,9918	0,9911	-0,08
6	7,485	0,9898	0,9876	-0,22
7	7,660	0,9877	0,9858	-0,19
8	7,835	0,9857	0,9850	-0,07
9	8,010	0,9837	0,9804	-0,33
10	8,184	0,9817	0,9806	-0,11
11	8,360	0,9797	0,9797	0,00
12	8,535	0,9777	0,9764	-0,13
13	8,710	0,9757	0,9737	-0,20

14	8,885	0,9737	0,9727	-0,11
15	9,060	0,9718	0,9675	-0,44
16	9,236	0,9698	0,9672	-0,27
17	9,411	0,9678	0,9629	-0,51
18	9,585	0,9659	0,9601	-0,60
19	9,761	0,9639	0,9658	0,19
20	9,935	0,9619	0,9593	-0,28
21	10,111	0,9600	0,9562	-0,39
22	10,286	0,9581	0,9559	-0,22
23	10,461	0,9561	0,9543	-0,19
24	10,637	0,9542	0,9513	-0,30
25	10,812	0,9522	0,9506	-0,17
26	10,987	0,9503	0,9523	0,20
27	11,163	0,9484	0,9496	0,12
28	11,338	0,9465	0,9421	-0,46
29	11,513	0,9446	0,9453	0,08
30	11,688	0,9426	0,9412	-0,15
31	11,864	0,9407	0,9387	-0,21
32	12,040	0,9388	0,9413	0,26
33	12,215	0,9369	0,9342	-0,30
34	12,391	0,9350	0,9340	-0,11
35	12,566	0,9331	0,9305	-0,29
36	12,741	0,9313	0,9315	0,02
37	12,917	0,9294	0,9308	0,15
38	13,092	0,9275	0,9235	-0,43
39	13,267	0,9256	0,9270	0,15
40	13,443	0,9238	0,9225	-0,13
41	13,619	0,9219	0,9228	0,10
42	13,795	0,9200	0,9189	-0,12
43	13,969	0,9182	0,9144	-0,41
44	14,146	0,9163	0,9161	-0,02
45	14,322	0,9144	0,9120	-0,27
46	14,497	0,9126	0,9150	0,27
47	14,673	0,9107	0,9119	0,13
48	14,849	0,9089	0,9098	0,10
49	15,024	0,9070	0,9086	0,17
50	15,200	0,9052	0,9100	0,53
51	15,376	0,9034	0,9046	0,13
52	15,552	0,9015	0,9036	0,23
53	15,729	0,8997	0,9000	0,03
54	15,905	0,8979	0,8992	0,14
55	16,081	0,8961	0,8984	0,26
56	16,258	0,8942	0,8957	0,16
57	16,428	0,8925	0,8933	0,09
58	16,596	0,8908	0,8930	0,26
59	16,764	0,8890	0,8891	0,00
60	16,932	0,8873	0,8902	0,33

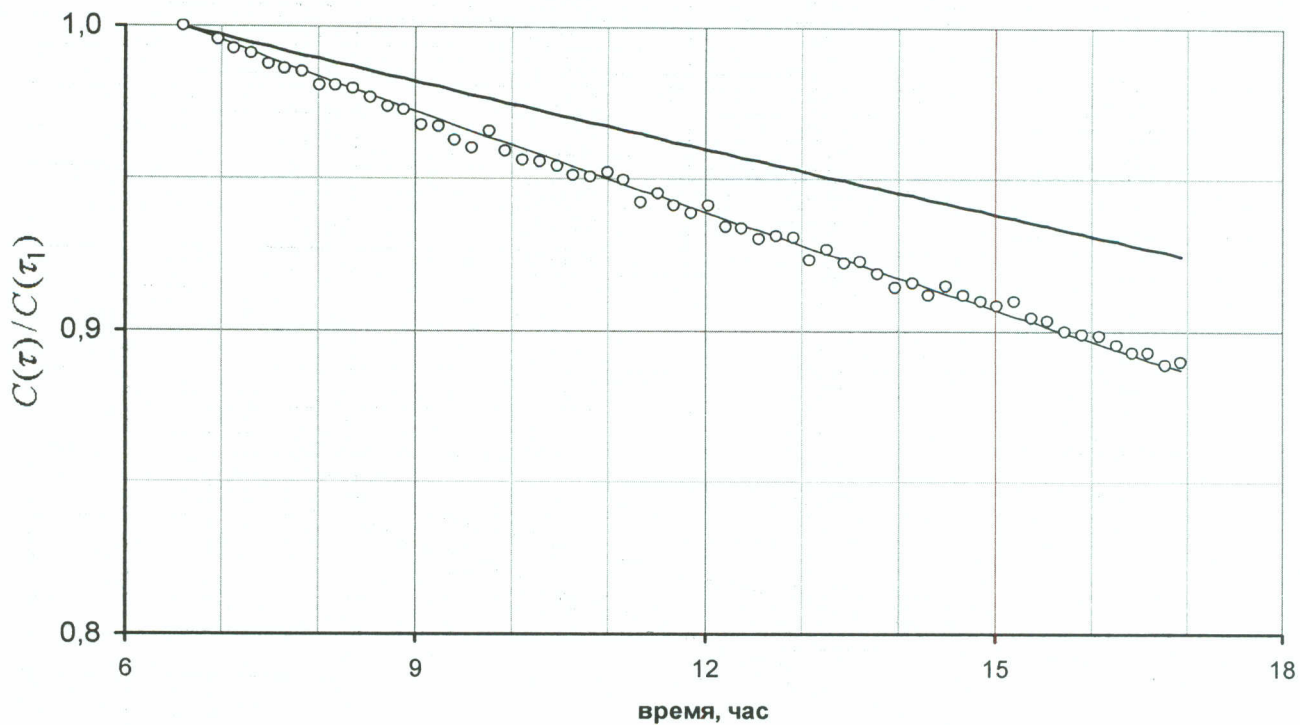


Рис. 1. Изменение во времени темпа снижения объемной активности радона в измерительной камере

*точки* – экспериментальные данные;

*тонкая сплошная линия* – расчетные данные;

*толстая сплошная линия* – в герметичной камере ( кривая распада) .

#### 4. Результат испытаний

Коэффициент диффузии радона в пробе материала составляет:

$$D = (5,7 \pm 1,1) \cdot 10^{-11} \text{ м}^2/\text{с}.$$

Отв. исполнитель

А. А. Цапалов